

## N-乙酰基-N-苯酰基二茂铁基腙的 IIB 族和主族金属螯合物

张 伦 方新钦\* 张铁灵

(武汉大学化学系, 武汉)

芳酰腙及其金属配合物的生物活性研究, 自 50 年代起已有不少报道<sup>[1-3]</sup>。1983 年前后 Patil 和 Sen 等<sup>[4-7]</sup>制备了几个含二茂铁基的芳酰腙, 并研究了它们与某些金属离子的配位作用。

本文报道 N-乙酰基-N-苯酰基二茂铁基腙 [Fe—C(OH<sub>3</sub>)=NNH—COOC<sub>6</sub>H<sub>5</sub>, Fe=C<sub>6</sub>H<sub>5</sub>FeC<sub>5</sub>H<sub>4</sub>] 的 IIB 族和某些主族金属螯合物。

### 实 验

IR 用岛津 IR-450 分光光度计测定, KBr 压片制样。MS 用 VG7070E-HF 质谱仪测定。<sup>1</sup>H NMR 用 Bruker WP-80 SYNMR 谱仪测定, DMSO-d<sub>6</sub> 或 CDCl<sub>3</sub> 为溶剂, TMS 为内标。

配体 Fe—C(OH<sub>3</sub>)=N—NHCOOC<sub>6</sub>H<sub>5</sub> 通过乙酰基二茂铁与苯酰肼缩合制得<sup>[8]</sup>, 乙酰基二茂铁按文献方法<sup>[8]</sup>制备。

螯合物 M(Fcbh)<sub>2</sub> [M=Zn, Cd, Hg, Pb; Fcbh=Fe—C(CH<sub>3</sub>)=N—N=CO—C<sub>6</sub>H<sub>5</sub>] 的合成 将含有 1.00 mmol 金属乙酸盐的 15 mL 乙醇溶液滴加到含有 2.05 mmol 配体的 20 mL 乙醇溶液中, 搅拌回流至沉淀析出, 过滤, 用乙醇和乙醚洗涤, 真空干燥, 得橙黄色或桔红色固体产物。Tl(Febh) 和 C<sub>6</sub>H<sub>5</sub>—Hg(Febh) 的合成与此相仿, 投料以 1:1.05 mol (TlOAc: 配体) 和 0.60:0.62 mol (C<sub>6</sub>H<sub>5</sub>—HgOAc: 配体)。

配体 Fe—C(CH<sub>3</sub>)=N—NHCOOC<sub>6</sub>H<sub>5</sub> 产率 92%, m. p. 165°C. C<sub>19</sub>H<sub>18</sub>N<sub>2</sub>OFe (计算值: Fe, 16.14. 实测值: Fe, 15.98). ν<sub>max</sub>: 3230(NH), 1650(C=O), 1540(C=N), 918(N—N)cm<sup>-1</sup>. δ<sub>H</sub>: 2.22(3H, s, CH<sub>3</sub>), 4.20(5H, s, C<sub>6</sub>H<sub>5</sub>), 4.40, 4.67(4H, m, C<sub>5</sub>H<sub>4</sub>), 7.55, 7.86(5H, m, C<sub>6</sub>H<sub>5</sub>), 11.32(1H, br, NH) ppm.

Zn(Fcbh)<sub>2</sub> 产率 46%. m. p. 148°C. C<sub>38</sub>H<sub>34</sub>N<sub>4</sub>O<sub>2</sub>Fe<sub>2</sub>Zn (计算值: N, 7.41; Fe, 14.78; Zn, 8.65. 实测值: N, 7.35; Fe, 14.60; Zn, 8.82). ν<sub>max</sub>: 1597(vs, C=N—N=C), 1525(s, C=N), 1289(s, C—O), 927(m, N—N), 405(m, Zn—N), 307(w, Zn—O)cm<sup>-1</sup>.

Cd(Fcbh)<sub>2</sub> 产率 65%. m. p. 160°C. C<sub>38</sub>H<sub>34</sub>N<sub>4</sub>O<sub>2</sub>CdFe<sub>2</sub> (计算值: N, 6.98; Cd, 14.00; Fe, 13.91. 实测值: N, 7.07; Cd, 13.86; Fe, 14.22). ν<sub>max</sub>: 1590(s, C=N—N=C), 1530(vs, C=N), 1293(s, C—O), 930(s, N—N), 400(m, Cd—N), 329(m, Cd—O)cm<sup>-1</sup>.

Hg(Fcbh)<sub>2</sub> 产率 78%. m. p. 176°C. C<sub>38</sub>H<sub>34</sub>N<sub>4</sub>O<sub>2</sub>Fe<sub>2</sub>Hg (计算值: N, 6.29; Fe, 12.54; Hg, 22.51. 实测值: N, 6.31; Fe, 12.43; Hg, 22.69). ν<sub>max</sub>: 1586(s, C=N—

$\text{N}=\text{O}$ ), 1503(vs, C=N), 1295(s, O—O), 922(m, N—N), 416(w, Hg—N), 340(w, Hg—O)cm<sup>-1</sup>.  $\delta_{\text{H}}$ : 2.65(6H, s, 2×CH<sub>3</sub>), 4.25(10H, s, 2×C<sub>5</sub>H<sub>5</sub>), 4.42, 4.69(8H, m, 2×C<sub>5</sub>H<sub>4</sub>), 7.48, 7.80(10H, m, 2×C<sub>6</sub>H<sub>5</sub>)ppm.

**Pb(Fcbh)<sub>2</sub>** 产率62%. m. p. 164°C. C<sub>88</sub>H<sub>34</sub>N<sub>4</sub>O<sub>2</sub>Fe<sub>2</sub>Pb (计算值: N, 6.24; Fe, 12.44; Pb, 23.08. 实测值: N, 6.16; Fe, 12.24; Pb, 22.81).  $\nu_{\text{max}}$ : 1585(vs, C=N—N=O), 1507(vs, C=N), 1291(s, O—O), 915(s, N—N), 413(w, Pb—N), 305(m, Pb—O)cm<sup>-1</sup>.  $\delta_{\text{H}}$ : 2.74(6H, s, 2×CH<sub>3</sub>), 4.18(10H, s, 2×C<sub>5</sub>H<sub>5</sub>), 4.38, 4.66(8H, m, 2×C<sub>5</sub>H<sub>4</sub>), 7.54, 7.89(10H, m, 2×C<sub>6</sub>H<sub>5</sub>)ppm.

**Tl(Fcbh)** 产率81%. m. p. 139°C. C<sub>49</sub>H<sub>17</sub>N<sub>2</sub>OFeTl (计算值: N, 5.10; Fe, 10.16; Tl, 37.19. 实测值: N, 4.93; Fe, 10.24; Tl, 37.42).  $\nu_{\text{max}}$ : 1603(s, C=N—N=O), 1547(vs, C=N), 1285(s, O—O), 917(s, N—N), 393(m, Tl—N), 315(w, Tl—O)cm<sup>-1</sup>.  $\delta_{\text{H}}$ : 2.59(3H, s, CH<sub>3</sub>), 4.22(5H, s, C<sub>5</sub>H<sub>5</sub>), 4.49, 4.62(4H, m, C<sub>5</sub>H<sub>4</sub>), 7.52, 7.84(5H, m, C<sub>6</sub>H<sub>5</sub>)ppm.  $m/z$ : 550(M<sup>+</sup>, 12%), 548([M-2]<sup>+</sup>, 8), 345([Fcbh]<sup>±</sup>, 100), 185([Fe]<sup>±</sup>, 46).

**C<sub>6</sub>H<sub>5</sub>—Hg(Fcbh)** 产率70%. m. p. 155°C. C<sub>25</sub>H<sub>22</sub>N<sub>2</sub>OFeHg (计算值: N, 4.50; Fe, 8.97; Hg, 32.20. 实测值: N, 4.62; Fe, 8.94; Hg, 32.18).  $\nu_{\text{max}}$ : 1588(s, C=N—N=O), 1510(vs, C=N), 1296(s, O—O), 923(m, N—N), 417(w, Hg—N), 293(m, Hg—O)cm<sup>-1</sup>.  $\delta_{\text{H}}$ : 2.56(3H, s, CH<sub>3</sub>), 4.23(5H, s, C<sub>5</sub>H<sub>5</sub>), 4.44, 4.71(4H, m, C<sub>5</sub>H<sub>4</sub>), 7.25, 7.32, 7.46, 8.04(10H, m, C<sub>6</sub>H<sub>5</sub>Hg, C<sub>6</sub>H<sub>5</sub>O=O)ppm.  $m/z$ : 624(M<sup>+</sup>, 16%), 622([M-2]<sup>+</sup>, 10), 345([Fcbh]<sup>±</sup>, 65), 279([C<sub>6</sub>H<sub>5</sub>—Hg]<sup>±</sup>, 100).

## 结果与讨论

与自由配体比较, 六个鳌合物的红外光谱发生了下列重要变化: 自由配体在3230和1650cm<sup>-1</sup>分别出现 $\nu_{\text{N}-\text{H}}$ 和 $\nu_{\text{C}=\text{O}}$ 吸收带, 而在鳌合物的IR谱中, 此二带完全消失; 鳌合物在1590和1290cm<sup>-1</sup>附近新出现 $\nu_{\text{C}=\text{N}-\text{N}=\text{C}}^{[6]}$ 和 $\nu_{\text{C}-\text{O}}^{[10]}$ 强峰; 鳌合物的 $\nu_{\text{C}=\text{N}}$ 和 $\nu_{\text{N}-\text{N}}$ 吸收带<sup>[11, 12]</sup>均有不同程度的位移; 鳌合物在400和300cm<sup>-1</sup>附近出现两个新峰, 试分别归属为 $\nu_{\text{M}-\text{N}}$ 和 $\nu_{\text{M}-\text{O}}$ 振动<sup>[4-6]</sup>. 上述结果表明, 在生成鳌合物时, 配体由酮式转变为烯醇式, 进而失去羟基上的质子, 通过负氧原子和甲亚胺基的氮原子与金属离子配位, 形成五员鳌环, 如图1所示。

<sup>1</sup>H NMR谱进一步证实了图1所示的结构。鳌合物M(Fcbh)<sub>n</sub>[M=Hg(II), Pb(II), n=2; M=C<sub>6</sub>H<sub>5</sub>—Hg(II), Tl(I), n=1]均出现了CH<sub>3</sub>, C<sub>5</sub>H<sub>5</sub>, C<sub>5</sub>H<sub>4</sub>和C<sub>6</sub>H<sub>5</sub>的质子信号。其中鳌合物C<sub>6</sub>H<sub>5</sub>—Hg(Fcbh)两个不同环境的苯基的质子信号为四组多重峰, 这种三配位汞的配合物很少见报道<sup>[13]</sup>。自由配体在11.32 ppm出现N—H质子信号, 而鳌合物均没有出现N—H质子峰, 亦未出现O—H质子峰, 表明在形成鳌合物时, 此质子从配体上被去掉。鳌合物的CH<sub>3</sub>质子信号较之自由配体向低场移动了0.35—0.62 ppm, 也表明配体中与OH<sub>3</sub>邻近的甲亚胺基的氮原子参与了同金属的配位。

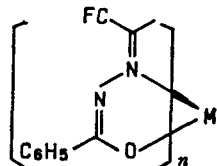


图1 Fcbh与IIB族和主族金属的配位方式

M=Zn(II), Cd(II), Hg(II), Pb(II)时,  
 $n=2$ ; M=C<sub>6</sub>H<sub>5</sub>—Hg(II), Tl(I)时, $n=1$ .

## 参 考 文 献

- [1] (a) Ma, T. S.; Tien, T. M., *Antibiot. and Chemother.*, **1953**, *3*, 491; (b) Albert, A., *Nature (London)*, **1953**, *9*, 370; (c) Price, J. M., *Fed. Proc., Fed. Am. Soc. Exp. Biol.* **1961**, *20* (3), 223.
- [2] Buu-Hoi, Ng. Ph.; Xuong, Ng. D.; Ham, Ng. H.; Binon, F.; Royer, R., *J. Chem. Soc.*, **1953**, 1358.
- [3] Edwards, E. I.; Epton, R.; Marr, G., *J. Organometal. Chem.*, **1975**, *85*, C-23.
- [4] Patil, S. R.; Kantak, U. N.; Sen, D. N., *Inorg. Chim. Acta*, **1982**, *63*, 261.
- [5] Patil, S. R.; Kantak, U. N.; Sen, D. N., *J. Indian Chem. Soc.*, **1982**, *59*, 1800.
- [6] Patil, S. R.; Kantak, U. N.; Sen, D. N., *Inorg. Chim. Acta*, **1983**, *68*, 1.
- [7] Hundekar, A. M.; Sen, D. N., *Indian J. Chem.*, **1984**, *23A*, 477.
- [8] 张国敏, 熊和平, 张伦, 无机化学, **1985**, *1*(1), 122.
- [9] Bacon, R. G. R.; Lindsay, W. S., *J. Chem. Soc.*, **1958**, 1382.
- [10] Nagano, K.; Kinoshita, H.; Hirakawa, A., *Chem. Pharm. Bull., Tokyo*, **1964**, *12*, 1198.
- [11] Rao, C. N. R., "Chemical Applications of Infrared Spectroscopy", Academic Press, New York, **1962**.
- [12] Aggarwal, R. C.; Narang, K. K., *Ind. J. Chem.*, **1971**, *9*, 1413.
- [13] Dutta, R. L.; Satapathi, S. K., *J. Indian Chem. Soc.*, **1982**, *59*, 332.

## IIB and Main Group Metal Chelates of *N*-Acetyl-*N*-benzoyl-ferrocenyl Hydrazone

Zhang Lun Fang Xin-Qin\* Zhang Tie-Lin

*(Department of Chemistry, Wuhan University, Wuhan)*

### Abstract

Six title chelates  $ML_2$  ( $M = Zn, Cd, Hg$  and  $Pb$ ) and  $ML$  [ $M = C_6H_5Hg, Tl$ ;  $L = FeC(CH_3)=N-N=C(C_6H_5)O^-$ ] have been synthesized. Their composition and structure are determined by means of IR,  $^1H$  NMR, MS and elemental analyses.